

МИНИСТЕРСТВО ОБРАЗОВАНИЯ РЕСПУБЛИКИ БЕЛАРУСЬ

БЕЛОРУССКИЙ ГОСУДАРСТВЕННЫЙ УНИВЕРСИТЕТ

Факультет прикладной математики и информатики

Кафедра математического моделирования и управления

КОМОДЕЙ

Владислав Геннадьевич

ЧИСЛЕННОЕ РЕШЕНИЕ ЗАДАЧИ СОПРЯЖЕНИЯ УРАВНЕНИЙ
ГИПЕРБОЛИЧЕСКОГО И ПАРАБОЛИЧЕСКОГО ТИПОВ МЕТОДОМ
КОНЕЧНЫХ ЭЛЕМЕНТОВ

Дипломная работа

Руководитель:

Лемешевский С.В.

кандидат физ.-мат. наук,

Допустить к защите
с предварительной оценкой __
«___» _____ 2017 г.

Минск, 2017

БЕЛОРУССКИЙ ГОСУДАРСТВЕННЫЙ УНИВЕРСИТЕТ

Кафедра математического моделирования и управления

Утверждаю

Заведующий кафедрой _____ В.И. Белько

«_____» _____ 2017 г.

ЗАДАНИЕ НА ДИПЛОМНУЮ РАБОТУ

Обучающемуся студенту Комодею В.Г.

1. Тема дипломной работы: Численное решение задачи сопряжения уравнений гиперболического и параболического типов методом конечных элементов
2. Утверждена приказом ректора БГУ от _____ № _____
3. Исходные данные к дипломной работе
 - Теория метода конечных элементов.
 - Размещенные в интернете методические материалы.
 - Технические требования к электронным версиям отчетных документов.
4. Перечень вопросов подлежащих разработке или краткое содержание работы
 - Рассмотреть постановку задачи.
 - Разработать приложение для решения.
 - Графически проиллюстрировать процесс решения.
5. Перечень графического материала
 - Логотип БГУ для включения на слайды презентации.
 - Графики иллюстраций.
 - Иллюстрации сравнительного анализа точного и приближенного вычислений.

6. Дата выдачи задания _____

Руководитель работы _____ С.В.Лемешевский

(Подпись, дата)

Задание принял к исполнению _____ Комодей В.Г.

(Подпись, дата)

ОГЛАВЛЕНИЕ

ВВЕДЕНИЕ	6
1 Описание постановки задачи сопряжения для уравнения гипербола- параболического типа и методов ее решения	8
1.1 Постановка задачи сопряжения для уравнения гипербола пара- болического типа	8
1.2 Введение в метод конечных элементов	9
2 Поиск решения задачи сопряжения гипербола параболического урав- нения	12
2.1 Вариационная формулировка задачи сопряжения гипербола па- раболического уравнения	12
2.2 Построение СЛАУ для задачи сопряжения гипербола параболи- ческого уравнения	16
2.3 Апостериорная оценка погрешности для решения задачи сопря- жения гипербола параболического уравнения	17
3 Вычислительный эксперимент	20
3.1 Описание пакета FEniCS	20
3.2 Построение решения задачи сопряжения гипербола параболиче- ского уравнения с помощью пакета FEniCS	21
ЗАКЛЮЧЕНИЕ	26
СПИСОК ИСПОЛЬЗУЕМЫХ ИСТОЧНИКОВ	27
Программа для решения задачи о сопряжении гиперболического и эллиптического уравнений	28

РЕФЕРАТ

Дипломная работа, 23 стр., 9 рис., 2 источника, 1 приложение

Ключевые слова: ДИФФЕРЕНЦИАЛЬНОЕ УРАВНЕНИЕ, ВАРИАЦИОННАЯ ПОСТАНОВКА, КОНЕЧНЫЕ ЭЛЕМЕНТЫ, FENICS, PYTHON.

Объект исследования — задача сопряжения уравнений гиперболического и параболического типов.

Цель работы — численное решение задачи сопряжения уравнений гиперболического и параболического типов

Методы исследования — метод конечных элементов.

Результатами являются: вычислительный алгоритм и программа решения задачи сопряжения уравнений гиперболического и параболического типов

Область применения — приближенное решение дифференциальных уравнений, математическое моделирование процессов, протекающих в разнородных средах.

РЭФЕРАТ

Дыпломная работа 23 с., 9 мал., 2 крыніцы, 1 дадатак.

Ключавыя словы ДЫФЕРЕНЦЫАЛЬНАЕ РАУНАННЕ, ВАРЫЯЦЫЕННАЯ ПАСТАНОУКА, КАНЧАТКОВЫЯ ЭЛЕМЕНТЫ, FENICS, PYTHON.

Аб'ект даследавання — задача аб спалучэнні гіпербалічнага і парабалічнага раунання.

Мэта работы — выліковае рашэнне задачы аб спалучэнні гіпербалічнага і парабалічнага раунання.

Метады даследавання — метады канчатковых элементаў.

Вынікамі з'яўляюцца: выліковы алгарытм і праграма рашэння задачы аб спалучэнні гіпербалічнага і парабалічнага раунання.

Вобласць прымянення — прыблізнае рашэнне дыференцыяльных раунанняў, матэматычнае мадэляванне працэсаў якія праходзяць у разнастайных средах.

SUMMARY

Graduate work. 23 p., 9 pic., 2 sources, 1 appendix

Key words: DIFFERENCIAL EQUATION, VARIATION SETTING, FINITE ELEMENTS, FENICS, PYTHON.

Research object: problem about hiperbolic and parabolic equation conjugation.

Work goal: numerical solution for problem about hiperbolic and parabolic equation conjugation.

Research methods — finite elements method.

Results — computational algorithm and program for solving problem about hiperbolic and parabolic equation conjugation.

Use area — solution of difference equations, mathematic process work modeling.

ВВЕДЕНИЕ

Необходимость рассмотрения сопряжения, когда на одной части области задано уравнение параболического типа, а на другой – уравнение гиперболического типа, была впервые высказана И.М. Гельфандом в 1959 г[1]. К задаче сопряжения приводит изучение электрических колебаний в проводах.

Такого рода задачи встречаются также при изучении движения жидкости в канале, окруженной пористой средой, в теории распространения электромагнитных полей и в ряде других областей физики. Так, в канале гидродинамическое давление жидкости удовлетворяет волновому уравнению, а в пористой среде – уравнению фильтрации, которое в данном случае совпадает с уравнением диффузии[2]. При этом на границе канала выполняются некоторые условия сопряжения. Аналогичная ситуация имеет место для магнитной напряженности электромагнитного поля в указанной выше неоднородной среде[3]. Большой интерес представляет изучение влияния вязкоупругих свойств нефти на различные технологические процессы ее добычи. Если рассмотреть совместное движение различных несмешивающихся жидкостей в трещинах и пористых пластах с учетом вязкоупругих характеристик, то движение вязкоупругой и вязкой жидкостей в плоской горизонтальной трещине без учета поверхностных явлений описывается одномерным гиперболическим уравнением и уравнением теплопроводности с интегро-дифференциальными условиями на границе раздела движущихся жидкостей.

Большой интерес представляет изучение математических моделей, описывающих влияние растительного покрова на теплообменные процессы в почве и приземном воздухе, при котором возникает необходимость исследования задачи для двух уравнений: уравнения Аллера переноса влаги, предполагающего бесконечную скорость распространения возмущения, и уравнение Лыкова, учитывающего конечную его скорость.

За последние несколько десятилетий в математической литературе появилось значительное количество публикаций, посвященных задачам сопряжения по временной переменной.

В настоящей работе решаются задача о сопряжении гиперболического и параболического уравнений по пространственной переменной в конечных областях с помощью метода конечных элементов. Решение находится с помо-

щью пакета вычислительной математики FEniCS, который предназначен для решения задач с помощью данного метода. Так же рассматривается погрешность полученного решения и порядок метода конечных элементов

1 Описание постановки задачи сопряжения для уравнения гипербола параболического типа и методов ее решения

1.1 Постановка задачи сопряжения для уравнения гипербола параболического типа

Пусть ограниченная область $\Omega \subset \mathbb{R}^2$ с границей $\partial\Omega$ разбивается кривой Γ на две подобласти Ω_1 и Ω_2 . В области Ω_2 будем рассматривать уравнение параболического типа, а в Ω_1 – уравнение гиперболического типа по t . На $\partial\Omega$ задаются граничные условия, на Γ – условия сопряжения. Задача формулируется следующим образом, для неизвестной функции u :

$$u(x) = \begin{cases} u_1, & x \in \Omega_1 \\ u_2, & x \in \Omega_2 \end{cases}$$

рассмотрим следующие уравнения:

$$\frac{\partial^2 u_1}{\partial t^2} = \operatorname{div}(k_1(x) \operatorname{grad} u_1) + f_1(x, t), \quad x \in \Omega_1, \quad t > 0, \quad (1)$$

$$\frac{\partial u_2}{\partial t} = \operatorname{div}(k_2 \operatorname{grad} u_2) + f_2(x, t) \quad (2)$$

Уравнения (1) и (2) дополним граничными условиями Дирихле:

$$u = 0, \quad x \in \partial\Omega. \quad (3)$$

На границе раздела задаются условия сопряжения:

$$(k_1(x) \operatorname{grad} u_1, \bar{n}) = (k_2(x) \operatorname{grad} u_2, \bar{n}), \quad x \in \Gamma, \quad (4)$$

$$u_1(x, t) = u_2(x, t), \quad x \in \Gamma$$

Также в области Ω_1 задаются начальные условия:

$$u_1(x, 0) = \varphi_1(x), \quad x \in \Omega_1 \quad (5)$$

$$\frac{\partial u_1}{\partial t}(x, 0) = \psi(x), \quad x \in \Omega_1 \quad (6)$$

$$u_2(x, 0) = \varphi_2(x), \quad x \in \Omega_2 \quad (7)$$

Пусть $k(x)$:

$$k(x) = \begin{cases} k_1, & x \in \Omega_1 \\ k_2, & x \in \Omega_2 \end{cases}$$

Известно, что задача (1) - (7) имеет единственное решение

1.2 Введение в метод конечных элементов

Метод конечных элементов(МКЭ) — это численная процедура решения задач, сформулированных в виде дифференциального уравнения или вариационного принципа.[2] МКЭ возник как универсальный метод для решения дифференциальных уравнений. Метод приобрел большую популярность, так как он позволяет анализировать и решать широкий спектр задач.

В отличие от других методов, метод конечных элементов имеет одну особенность. В данном методе аппроксимирующая функция является комбинацией кусочно-гладких конечных функций. Данные функции являются ненулевыми только в определенном интервале(в методе конечных элементов такие интервалы называются конечными элементами, на которые, собственно и разбивается область Ω).

Сам метод конечных элементов включает в себя достаточно много технологий. Процесс построения решения для данного метода включает определенную последовательность шагов. Перечислим эти шаги.

1. Для начала необходимо построить сетку для нашей области Ω . Для задания коэффициентов уравнений, надо знать определенные свойства материала. Область Ω в нашем случае необходима быть покрыта подобластями, удовлетворяющим свойствам - они все должны быть попарно непересекаемыми[3]. Такие подобласти и называются конечными элементами (КЭ)(Рисунок 1).

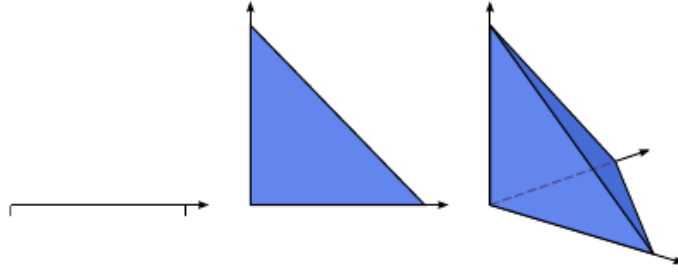


Рисунок 1 – Пример конечно-элементных подобластей для пространств размерности $n = 1, 2, 3$

Соответственно, совокупность всех КЭ называется конечно-элементной сеткой[4]. Вершины конечных элементов называются узлами. Узлы бывают двух типов: внешние и внутренние. На границах конечных элементов расположены внешние узлы(они соединяют соседние КЭ). Внутренние узлы конечного элемента используются для более конкретного описания искомых функций[3].

Рассмотрим решение в узле. Части решения в конкретном узле называются степенями свободы. Понятно, что в зависимости от типа задачи число степеней свободы в узле различно. В задаче теплопроводности, например, ищется одно значение температуры(одна степень свободы)[3]. В случае двумерной задачи упругости, число частей решения будет равно двум(т.к. $u = (u_x, u_y)$). Значения функции в узлах могут фигурировать в качестве степеней свободы[3]. Важно знать материал, который присутствует в задаче. В нашем случае из этого материала сделаны сами конечные элементы.

Как только область разбита на соответствующие подобласти, на каждой такой подобласти можно определить функциональное пространство V и использовать каждое V для определения глобального функционального пространства V_h . Подобласть T вместе с определенным на ней функциональным пространством V называется конечным элементом. Более строгое определение:

- Подобласть T - замкнута, с кусочно-гладкой границей
- Область $V(T)$ - конечное функциональное пространство на T

2. Приведение поиска решения к решению обычной системы линейных уравнений с учетом граничных условий.

3. Решение полученной системы уравнений. После решения данной системы, мы получим коэффициенты. Причем, так как на каждом КЭ мы задали функциональное пространство и базисные функции, то после отыскания коэффициентов решения, наше решение не только будет совпадать в узлах сетки: $u_h(x_i, t) = u(x_i, t) = u_i^t$, а так же являться непрерывным в остальных точках[4].

2 Поиск решения задачи сопряжения гипербола параболического уравнения

2.1 Вариационная формулировка задачи сопряжения гипербола параболического уравнения

Для применения метода конечных элементов введем следующие пространства:

$$V = \{u : u_1 : x \in \Omega_1; u_2 : x \in \Omega_2; u = 0, x \in \partial\Omega; \} \quad (8)$$

$$\hat{V} = \{v \in H^1(\Omega), v = 0, x \in \partial\Omega\} \quad (9)$$

Пространство H^1 - пространство Соболева, содержащие такие функции v , что функции v^2 и $||\nabla v||^2$ имеют конечные интегралы по области Ω

На нулевом слое нам известно точное значение функции u . Это значение можно увидеть из начальных условий (5), (7).

Разберемся с первым слоем. Для Ω_1 нам дано (6). Домножим (6) на v с обеих сторон и проинтегрируем по области Ω_1 . Соответственно, получим:

$$\int_{\Omega_1} \frac{\partial u_1}{\partial t} v dx = \int_{\Omega_1} \psi v dx$$

Распишем первую производную по t по разностной формуле $\frac{\partial u}{\partial t} = \frac{u^1 - u_0}{\tau}$. Соответственно, получим:

$$\int_{\Omega_1} \frac{u^1 - u_0}{\tau} v dx = \int_{\Omega_1} \psi v dx \quad (10)$$

Перенесем все части с u^1 в (10) в левую часть, а остальные - в правую. Получим:

$$\int_{\Omega_1} u_1^1 v dx = \tau \int_{\Omega_1} \psi v dx + \int_{\Omega_1} \phi_1 v dx \quad (11)$$

Из (11) выделим следующие члены:

$$a_1(u_1^1, v) = \int_{\Omega_1} u_1^1 v dx \quad (12)$$

$$L_1(v) = \tau \int_{\Omega_1} \psi v dx + \int_{\Omega_1} \phi_1 v dx \quad (13)$$

В литературе a называется билинейной формой, а L - линейной формой.

Так как у нас нет условий на Ω_2 для первого слоя, то необходимо использовать (2). Домножим (2) на v с обеих сторон и проинтегрируем по пространству Ω_2 . Получим:

$$\int_{\Omega_2} \frac{u_2^1 - u_2^0}{\tau} v dx = \int_{\Gamma} k_1(\text{grad } u_1^1, \tilde{n}) v dS - \int_{\Omega_2} k_2(\text{grad } u_2^1, \text{grad } v) dx + \int_{\Omega_2} f_2 v dx \quad (14)$$

Для производной u по t использовали разностную подстановку определенную выше.

Таким образом, для первого слоя для Ω_2 получили следующие линейные и билинейные формы:

$$a_2(u_2^1, v) = \int_{\Omega_2} \frac{u_2^1 - u_2^0}{\tau} v dx \quad (15)$$

$$L_2(v) = \int_{\Gamma} k_1(\text{grad } u_1^1, \tilde{n}) v dS - \int_{\Omega_2} k_2(\text{grad } u_2^1, \text{grad } v) dx + \int_{\Omega_2} f_2 v dx \quad (16)$$

Теперь, когда у нас есть все данные для нулевого и первого слоя - распишем задачу для $n = 2, \dots$

Вариационная задача строится аналогичным образом: домножаем уравнения (1)-(2) на $v \in V$ с обеих сторон и интегрируем их по пространству. Уравнение (1) интегрируем по пространству Ω_1 , уравнение (2) интегрируем по пространству Ω_2 .

Для преобразования подынтегральных выражений вида $\text{div}(\bar{a})v$ приме-

няем формулу Остроградского:

$$\operatorname{div}(\bar{a})v = \operatorname{div}(\bar{a}v) - (\bar{a}, \operatorname{grad}v)$$

$$\int_{\Omega_1} \frac{\partial^2 u}{\partial t^2} v dx = \int_{\Gamma} v(k_1 \operatorname{grad} u_1, \bar{n}) dS - \int_{\Omega_1} (k_1 \operatorname{grad} u_1, \operatorname{grad} v) dx + \int_{\Omega_1} f_1 v dx$$

Применим начальное условие Дирихле (3) и получим:

$$\int_{\Omega_1} \frac{\partial^2 u}{\partial t^2} v dx = \int_{\Gamma} v(k_1 \operatorname{grad} u_1, \bar{n}) dS - \int_{\Omega_1} (k_1 \operatorname{grad} u_1, \operatorname{grad} v) dx + \int_{\Omega_1} f_1 v dx \quad (17)$$

\bar{n} - внешняя нормаль к области Ω_1 от границы Γ . Члены вида $(\operatorname{grad} u, \bar{n})$ - производные по направлению от границы. Функция v в литературе называется тестовой функцией (Test Function) [3], u - триальной функцией (Trial Function).

Домножим уравнение (2) на тестовую функцию v с обеих сторон, проинтегрируем полученное равенство по области Ω_2 и применим условие, что $v = 0, x \in \partial\Omega$:

$$\int_{\Omega_2} v \frac{\partial u_2}{\partial t} = \int_{\partial\Omega_2} k_2(x) v (\operatorname{grad} u_2, \bar{n}) dS - \int_{\Omega_2} (k_2(x) \operatorname{grad} u_2, \operatorname{grad} v) dx + \int_{\Omega_2} f_2 v dx \quad (18)$$

К уравнению (17) прибавим (18), применяя условие сопряжения (4):

$$\int_{\Omega_1} \frac{\partial^2 u_1}{\partial t^2} v dx + \int_{\Omega_2} \frac{\partial u_2}{\partial t} v dx = - \int_{\Omega} k(x) (\operatorname{grad} u, \operatorname{grad} v) dx + \int_{\Omega} f v dx \quad (19)$$

Таким образом, мы получили уравнение (19) для всей области Ω вместо исходных (1), (2) для Ω_1 и Ω_2 . Заметим, что (19) равносильно уравнениям (1)-(2).

Произведем дискретизацию по времени. Разобьем отрезок $[0, T]$ на N частей с шагом τ и распишем член $\frac{\partial^2 u}{\partial t^2}$ и $\frac{\partial u}{\partial t}$ по формуле разностной производной:

$$\frac{\partial u}{\partial t} = \frac{u^{n+1} - u^n}{\tau} \quad (20)$$

$$\frac{\partial^2 u}{\partial t^2} = \frac{u^{n+1} - 2u^n + u^{n-1}}{\tau^2} \quad (21)$$

Домножим на v и проинтегрируем начальные условия (6). Получим:

$$\int_{\Omega_1} \frac{\partial u_1}{\partial t} v dx = \int_{\Omega_1} \psi v dx \quad (22)$$

Подставим в (22) выражение (20):

$$\int_{\Omega_1} \frac{u_1^1 - u_1^0}{\tau} v dx = \int_{\Omega_1} \psi v dx$$

После нехитрых преобразований получим конструкцию вида:

$$a(u^1, v) = L(v) \quad (23)$$

Где:

$$a_1(u^{n+1}) = \int_{\Omega_1} u_1 v dx$$

$$L_2(v) = \int_{\Omega_1} \varphi_1 v dx + \tau \int_{\Omega_1} \psi v dx$$

Таким образом мы получили разложение для Ω_1 на первом слое. Теперь мы должны получить соответствующее разложение для Ω_2 . Для этого воспользуемся уравнением (19);

$$\int_{\Omega_2} v dx = \int_{\Gamma} k_1(\text{gradu}_1^1, \bar{n}) v ds - \int_{\Omega_2} k_2(\text{gradu}_2^1, \text{grad} v) dx + \int_{\Omega_2} f_2 v_2 dx$$

После преобразований получим окончательное выражение линейной и билинейной формы для первого слоя на Ω_2 :

$$a_2(u_2^1, v) = \int_{\Omega_2} v dx + \tau \int_{\Omega_2} k_2(\text{grad} u_2^1, \text{grad} v) dx$$

$$L_2(v) = \int_{\Gamma} (\text{grad} u_1^1, \bar{n}) v dS + \int_{\Omega_2} v dx v dx$$

Проведем аналогичные преобразования (перенос членов в левую и правые части) для (19):

$$a(u, v) = \int_{\Omega_2} v dx + \tau \int_{\Omega_2} u^{n+1} v dx + \tau^2 \int_{\Omega} k(\text{grad} u^{n+1}, \text{grad} v) dx \quad (24)$$

$$L(v) = \int_{\Omega_1} (2u^n - u^{n-1}) v dx + \tau \int_{\Omega_2} u^n v dx + \tau^2 \int_{\Omega} f v dx \quad (25)$$

2.2 Построение СЛАУ для задачи сопряжения гипербола параболического уравнения

Для решения нашей задачи численно, необходимо применить процесс дискретизации по пространству к исходной задаче (1)-(7). Функцию, которую будем находить обозначим u_h .

Далее, область Ω мы разобьем на конечные элементы. В нашем случае мы будем разбивать область на треугольники. Процесс называется триангуляцией. Разобьем область на M конечных элементов и зададим на каждом базисную функцию ϕ_k . Причем:

$$u_h(x) = \sum_{k=1}^M u_k^{n+1} \phi_k(x) \quad (26)$$

Где:

$$v(x) = \phi_j \quad (27)$$

Как известно из метода конечных элементов, мы оперируем линейной и билинейной формой.

$$a(u, v) = L(v) \quad (28)$$

Подставим в (28) выражения (26) и (27) соответственно. Получим следующее равенство:

$$a(u^{n+1}, \phi_i) = a\left(\sum_{k=1}^M u_k^{n+1} \phi_k, \phi_i\right) \quad (29)$$

Известно, что оператор a линеен, то есть:

$$a(\lambda_1 u_1 + \lambda_2 u_2, v) = \lambda_1 a(u_1, v) + \lambda_2 a(u_2, v)$$

Таким образом, перепишем (29):

$$a(u^{n+1}, \phi_i) = \sum_{k=1}^M u_k^{n+1} a(\phi_k, \phi_i) \quad (30)$$

Таким образом, получили следующую задачу: $AU = F$, где матрица A состоит из членов $a_{ki} = a(\phi_k, \phi_i)$. Искомый вектор U имеет вид:

$$U = \begin{bmatrix} u_0^{n+1} \\ u_1^{n+1} \\ \dots \\ u_M^{n+1} \end{bmatrix}$$

Получили систему, которую, например, можно решить методом LU факторизации.

2.3 Апостериорная оценка погрешности для решения задачи сопряжения гипербола параболического уравнения

Обозначим за u^n - решение задачи (1)-(7), а u_h^n - наше решение, полученное методом конечных элементов.

В данном разделе исследована погрешность по методу Рунге-Эйткена[4]. Саму погрешность представим в следующем разложении:

$$E_0 = Mh^p \quad (31)$$

В (31) коэффициент M - некая константа, которая определяется методом решения. h - соответственно, шаг дифференцирования. p - порядок метода.

В свою очередь - E_0 называется главным членом погрешности.

Распишем следующую величину:

$$||e_h|| = ||u_h^n - u^n|| = ||u_h^n|| + M_1 h^p + O(h^{p+1}) \quad (32)$$

Теперь, вычислим ту же самую разность, но уже с новым шагом kh :

$$||e_{kh}|| = ||u_{kh} - u^n|| = ||u_{kh}|| + M(kh)^p + O((kh)^{p+1}) \quad (33)$$

Где коэффициент пропорциональности k может быть как больше, так и меньше единицы. Коэффициент M будет одинаковым, так как вычисляется одна и та же переменная, одним и тем же методом, а от величины шага M не зависит.

Пренебрегая бесконечно малыми величинами, приравняем (32) и (33):

$$||u_h^n|| + E_0 = ||u_{kh}|| + k^p E_0$$

Откуда найдем главный член погрешности:

$$E_0 = \frac{||u_h^n|| - ||u_{kh}||}{k^p - 1} \quad (34)$$

Формула (34) называется первой формулой Рунге и она позволяет оценить погрешность. Формула (34) имеет большое практическое значение, так как позволяет провести оценку погрешности без изменения алгоритма метода.

В нашем случае неизвестен порядок метода – степень p . Для этого необходимо третий раз вычислить значение величины e_h с шагом $k^2 h$, то есть:

$$||e_h|| = ||u_{k^2 h}|| + k^{2p} E_0 \quad (35)$$

Приравня правые части (34) и (35), можем выразить k^p :

$$k^p = \frac{||u_{kh}|| - ||u_{k^2 h}||}{||u_h|| - ||u_{kh}||} \quad (36)$$

$$(37)$$

Прологарфмируя соотношение (36) определим порядок p .

$$p = \frac{\ln \left(\frac{\|u_{kh}\| - \|u_{k^2h}\|}{\|u_h\| - \|u_{kh}\|} \right)}{\ln k} \quad (38)$$

3 Вычислительный эксперимент

3.1 Описание пакета FEniCS

Для применения метода конечных элементов будем использовать пакеты FEniCS и FEniCSTools. Пакет FEniCS состоит из большого количества библиотек(написанных на C++, которые транспируются в python модули, что говорит о довольно быстрой реализации данного пакета) призванных упростить решения различных дифференциальных уравнений. Использование FEniCS подразумевает собой, что пользователь должен иметь абстрактные знания о методе конечных элементов(основной метод, которым FEniCS решает уравнения). Но на самом деле, FEniCS скрывает от пользователя конечную реализацию алгоритма. Таким образом, код приложения весьма лаконичен и понятен человеку, который знает лишь базовые понятия языка программирования python. Несмотря на то, что все пакеты можно установить из репозитория вашего дистрибутива(как то `apt-get install fenics`), я все же рекомендую делать это через исходный код самих пакетов. Таким образом мы можем подобрать корректную версию FEniCS и FEniCSTools. Пакет FEniCS предназначен для решения задач методом конечных элементов в различных вариациях. FEniCS базируется на библиотеке Dofn, которую так же нужно установить. FEniCS позволяет проводить сложные вычисления вводя в программу лишь аналитический вид уравнения практически в "чистом" виде. Так же FEniCS может сам проводить дискретизацию области по пространству различными способами и с различными типами базисных функций(готовую сетку можно отдать FEniCS в входном файле, что дает довольно большой простор для действий). Пакет FEniCSTools используется для экстраполяции функции из подобласти Ω_1 или Ω_2 на всю подобласть Ω . Так же стоит отметить, что пакет FEniCS высокоуровневый и низкоуровневый одновременно, что позволяет настроить работу программы практически под любые действия, не используя при этом множество сторонних библиотек. FEniCS активно разрабатывается в настоящее время, поэтому практически всегда можно найти решения возникающих проблем или задать вопрос разработчикам данного пакета.

3.2 Построение решения задачи сопряжения гипербола параболического уравнения с помощью пакета FEniCS

Рассмотрим следующую задачу сопряжения гипербола-параболического уравнения:

$$\frac{\partial^2 u_1}{\partial t^2} = \operatorname{div}(\operatorname{grad} u_1) + 20t \sin(\pi xy), \quad x \in \Omega_1, \quad t > 0 \quad (39)$$

$$\frac{\partial u_2}{\partial t} = \operatorname{div}(k_2 \operatorname{grad} u_2, \bar{n}) + 10(t+1) \sin(\pi xy), \quad x \in \Omega_2, \quad t > 0 \quad (40)$$

Уравнения (39) и (40) дополним граничными условиями Дирихле:

$$u = 0, \quad x \in \partial\Omega$$

На границе раздела задаются условия сопряжения:

$$(\operatorname{grad} u_1, \bar{n}) = (\operatorname{grad} u_2, \bar{n}), \quad x \in \Gamma$$

$$u_1(x, t) = u_2(x, t), \quad x \in \Gamma$$

Начальные условия:

$$u_1(x, 0) = \sin(\pi x) \sin(\pi y), \quad x \in \Omega_1$$

$$u_2(x, 0) = (t+1) \sin(\pi x) \sin(\pi y), \quad x \in \Omega_2$$

$$\frac{\partial u_1}{\partial t}(x, 0) = \sin(\pi x) \sin(\pi y), \quad x \in \Omega_1$$

За область возьмем:

$$\Omega = [0, 1] \times [0, 1]$$

На первом слое решение нам уже известно. На втором слое, мы знаем уравнение для Ω_1 , для Ω_2 мы строили основное уравнение. Потом, полученные функции “соединяли” вместе с помощью пакета FEniCS tools. Построим триангуляцию области Ω .

Для начала разобьем область Ω на Ω_1 и Ω_2 , с границей сопряжения Γ в точке $x = 0.5$. (Рисунок 2)

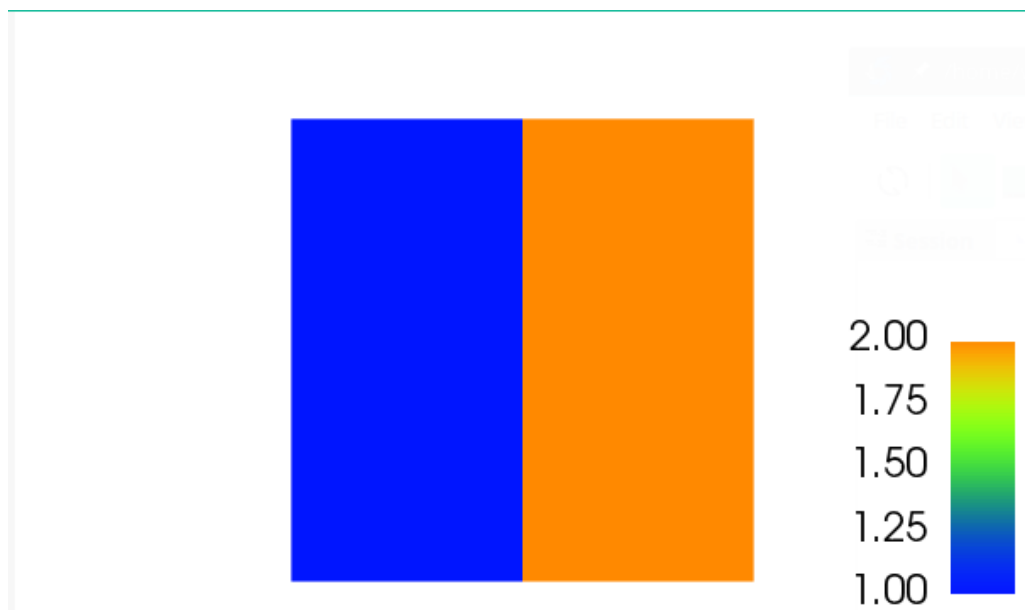


Рисунок 2. Расчетная область Ω с обозначенными синим цветом Ω_1 ,
оранжевым - Ω_2

Проведем триангуляцию области $n = 100$ треугольниками и построим решение на первом временном слое, при $t = 0$. (Рисунок 3):

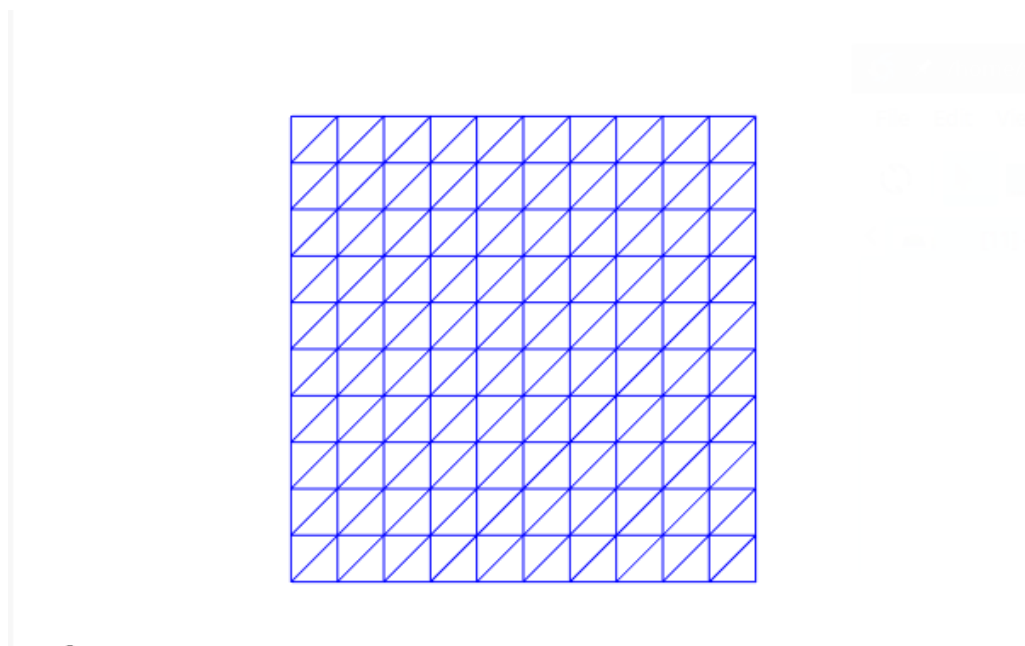


Рисунок 3. Триангуляция области Ω при $n = 100$

Пример решения на $n = 100$ треугольниках и при $t = 10$ приведен на рисунке 4:

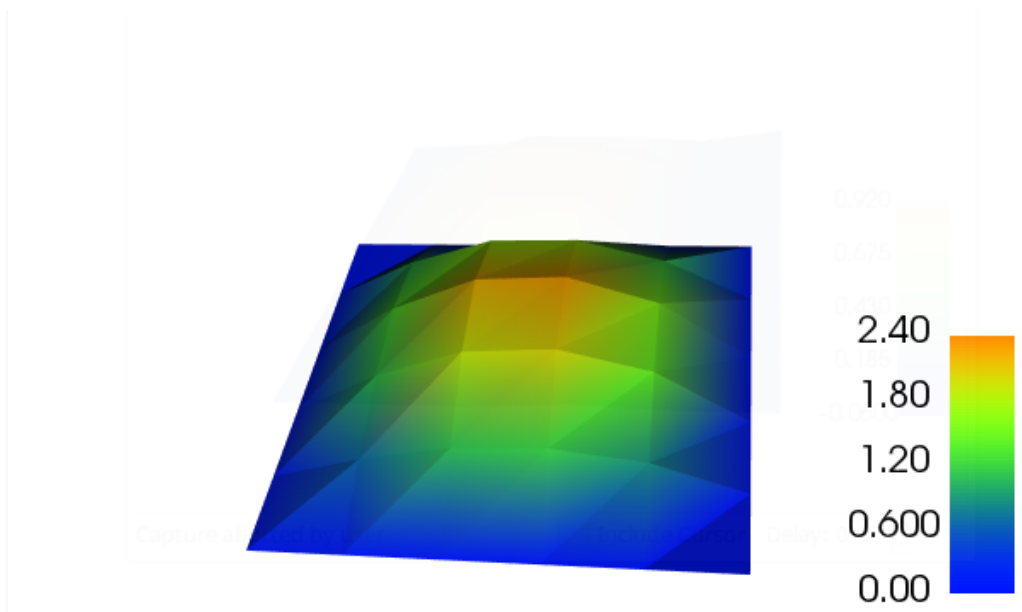


Рисунок 4.Решение задачи (39)-(40) при $t = 0$

Триангуляция Ω при 400 треугольниках. (Рисунок 5)

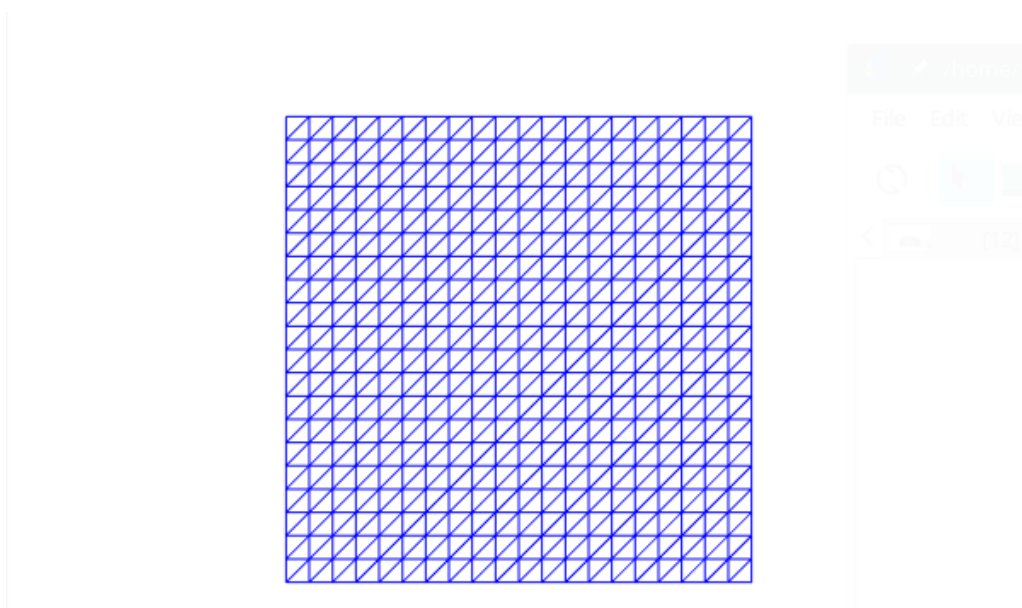


Рисунок 5.Триангуляция области Ω при $n = 400$

Решение (22)-(28) на 0 временном слое. (Рисунок 6)

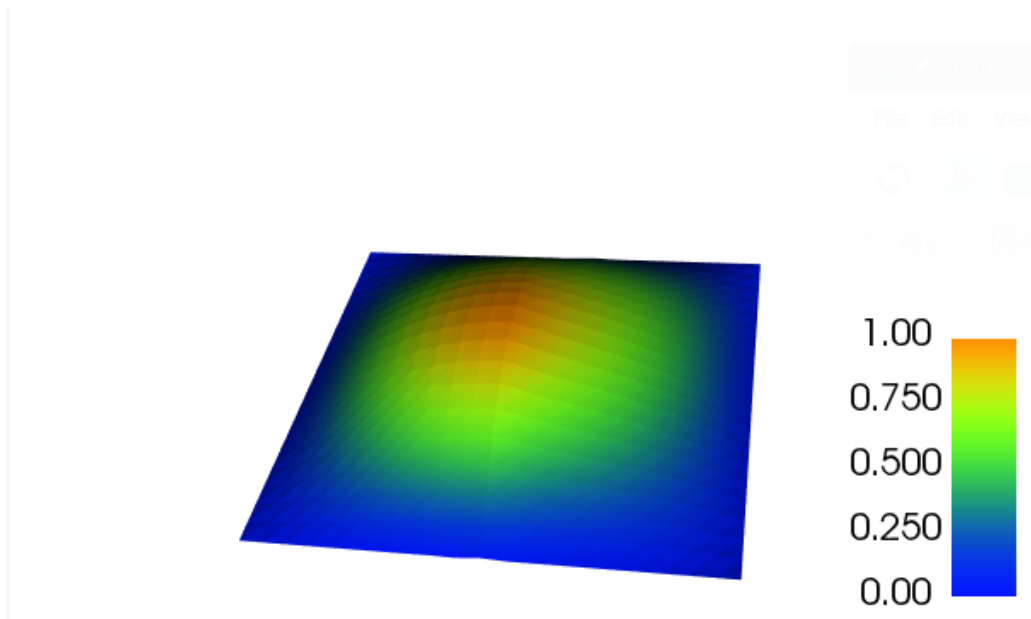


Рисунок 6.Решение задачи (39)-(40) при $t = 0$, $n = 400$

Решение задачи (22)-(28) при 400 треугольниках и $t = 10$. (Рисунок 7)

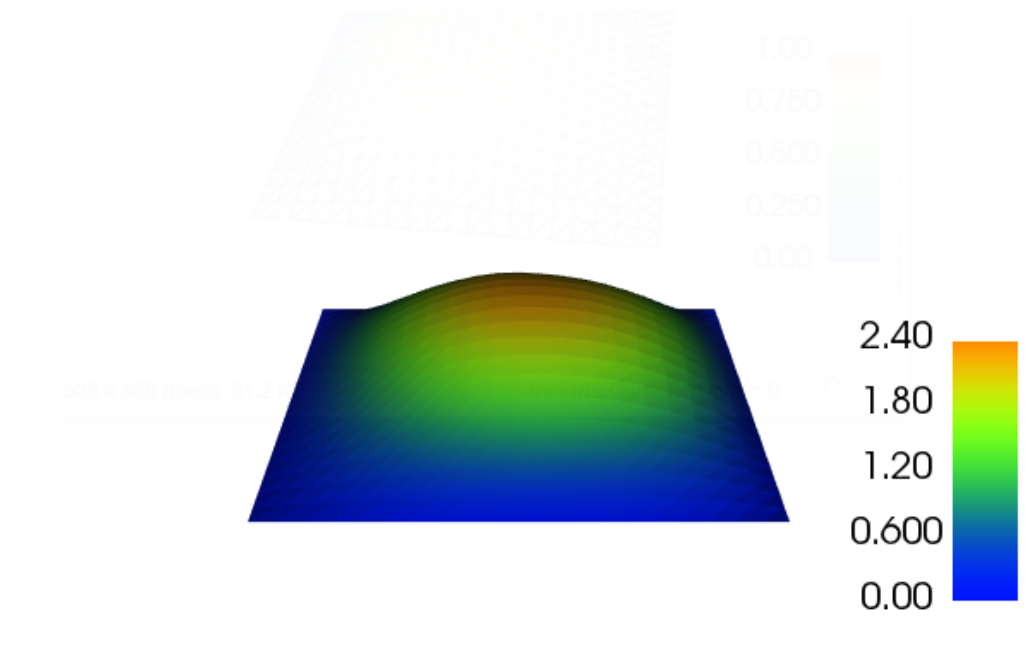


Рисунок 7.Решение задачи (39)-(40) при $t = 10$, $n = 400$

Решение на $t = 100$, при триангуляции 10000 треугольниками(Рисунок 9).
Триангуляция приведена на рисунке 8:

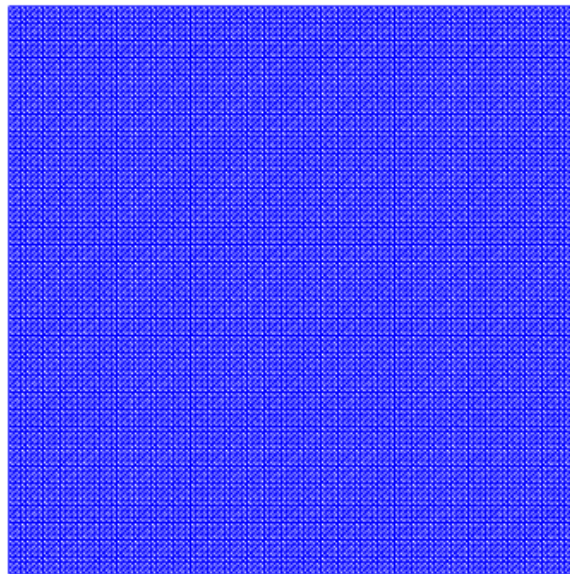


Рисунок 8.Триангуляция области Ω при $n = 10000$

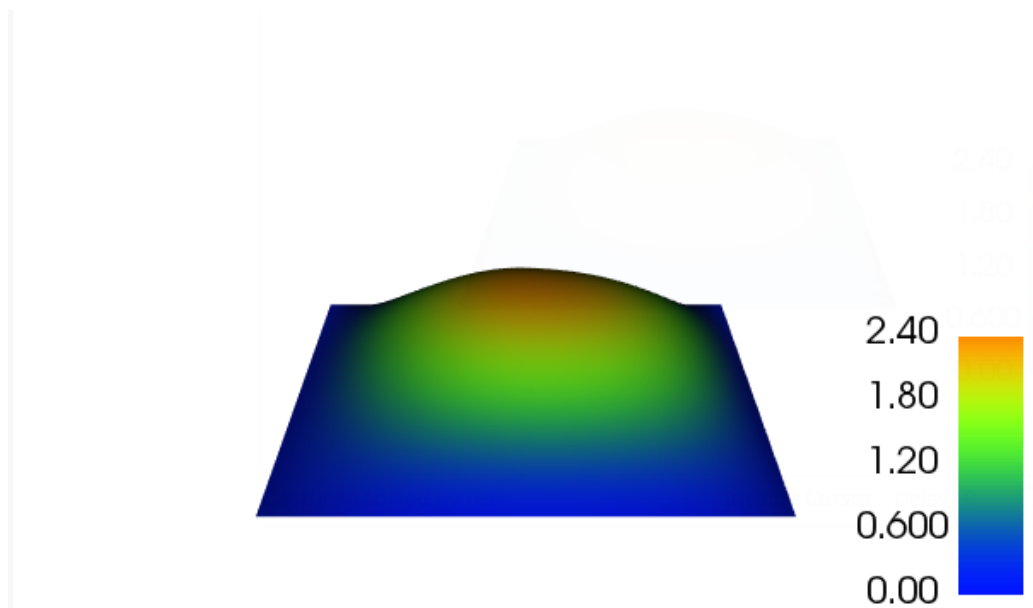


Рисунок 9.Решение задачи (39)-(40) при $t = 10$, $n = 10000$

Проведем исследование погрешности по формулам (36) и порядок метода (38). Коэффициент k возьмем равным $\frac{1}{2}$, а константу $M = 1$

п треугольников	$\ u\ $
100	1.847176
400	1.89189
1600	1.903268

Итого получили $E_0 = 0.025$, и порядок метода $p = 2$.

ЗАКЛЮЧЕНИЕ

В работе на основе метода конечных элементов построен вычислительный алгоритм решения задачи сопряжения уравнений гиперболического и параболического типов. Разработана программа, реализующая построенный алгоритм, использующая возможности вычислительного пакета FEniCS. Проведен вычислительный эксперимент, на основе которого получена апостериорная оценка точности.

СПИСОК ИСПОЛЬЗУЕМЫХ ИСТОЧНИКОВ

Список литературы

- [1] Leslie Lamport, \LaTeX : a document preparation system. Addison Wesley, Massachusetts, 2nd edition, 1994.
1. Гельфанд, И.И. Некоторые вопросы анализа и дифференциальных уравнений // И.И. Гельфанд // Диф. ур-ия. – 1959. – Т.14, №3. – С. 3-19.
 2. Лейбезон, Л.Л. Движение природных жидкостей и газов в пористой среде / Л.Л. Лейбезон., – ОГИЗ, Гостехиздат, 1947. - 244с.
 3. Hughes Thomas J. R., The finite element method: linear static and dynamic finite element analysis / Hughes Thomas J. R., – Dover Publications, 2012. – 704 с.
 4. Anders Logg, Automated Solution of Differential Equations by the Finite Element Method / Anders Logg, – Rent Publications, 2014. – 600 с.
 5. Anders Logg, The FEniCS Tutorial Volume I / Anders Logg, – Rent Publications, 2017, – 150 с.

Программа для решения задачи о сопряжении гиперболического и эллиптического уравнений

```

from __future__ import division
from dolfin import *
import numpy as np
from helpers import *
import sys

n = 10
tau = 0.5
T = 3
# Function definitions
u1_def = "sin(pi*x[0])*sin(pi*x[1])"
phi_def = u1_def
f2_def = "10*(t+1)*sin(pi*x[0]*x[1])"
psi_def = "sin(pi*x[0])*sin(pi*x[1])"
f1_def = "20*t*sin(pi*x[0]*x[1])"
# Defining [0,1]x[0,1] mesh with finite elements of Lagrange type
mesh = UnitSquareMesh(n, n)
V = FunctionSpace(mesh, "Lagrange", 1)

domains = define_domains(mesh, V, n)

# Create submesh and boundaries for resolving equation on Omega_2
mesh2 = SubMesh(mesh, domains, 2)
boundaries = define_mesh2_boundaries(mesh2)

V2 = FunctionSpace(mesh2, "Lagrange", 1)
u_omega1_layer0 = interpolate(Expression(u1_def), V2)
bcs = [DirichletBC(V2, u_omega1_layer0, boundaries, 2), DirichletBC(V2, 0, boundaries, 1)]

# — Define measures
ds = Measure("ds")[boundaries]

# ———— define space, finite-element basis function v, and u
u_omega2_layer0 = TrialFunction(V2)
v = TestFunction(V2)
n = FacetNormal(mesh2)
f1 = Expression(f1_def, t=0)
f2 = Expression(f2_def, t=0)

```

```

psi = Expression(psi_def)
u_0 = Expression(u1_def)
# ——— Second layer

u2_1 = TrialFunction(V2)
a = u2_1*v*dx + tau*inner(nabla_grad(u2_1), nabla_grad(v))*dx
# a = inner(nabla_grad(u2_1), nabla_grad(v))*dx
u1_1 = interpolate(Expression("sin(pi*x[0])*sin(pi*x[1])", t=tau), V2)
bcs = [DirichletBC(V2, u1_1, boundaries, 2), DirichletBC(V2, 0, boundaries, 1)]
L = f2*v*dx + inner(grad(u1_1), n)*v*ds(2)

u2_1 = Function(V2)

solve(a == L, u2_1, bcs=bcs)
u1_1 = interpolate(Expression("sin(pi*x[0])*sin(pi*x[1])", t=tau), V)
u_1 = get_whole_function(V, mesh, u1_1, u2_1, domains)

# plot(u_1)

# ——— Layers 2..T

dx = Measure("dx")[domains]
t = 1
boundaries = define_mesh_boundaries(mesh)

u_n = u_1
u_nml = u_0
# u_np1 = TrialFunction(V)
# v = TestFunction(V)

bc = DirichletBC(V, 0, boundaries, 1)
f1 = Expression(f1_def, t=t)

while t <= T:
    u_np1 = TrialFunction(V)
    v = TestFunction(V)
    f1.t = t
    f2.t = t
    a = u_np1*v*dx(1) + tau*u_np1*v*dx(2) + (tau**2)*inner(grad(u_np1), grad(v))*dx
    # a = 1/t**2*u_np1*v*dx(1) + inner(grad(u_np1), grad(v))*dx
    L = (2*u_n - u_nml)*v*dx(1) + tau * u_n * v * dx(2) + tau**2 * f1 * v * dx(1) + ta
    # L = f1*v*dx(1) + f2*v*dx(2) + 1/t**2*(2*u_1 - u_0)*v*dx(1)

    u_np1 = Function(V)
    solve(a == L, u_np1, bcs=bc)
    t += tau

```

```

    u_nml = u_n
    u_n = u_np1
    p = plot (u_np1, title="t={}".format(t), interactive=False)
    p.write_png('t={}'.format(t))
print norm(u_np1, 'l2')
plot(u_np1, title="t={}".format(t))
print "t = {}".format(t)

interactive()

from dolfin import *
from fenicstools import interpolate_nonmatching_mesh

def get_whole_function(V, mesh, u1, u2, domains):
    u2 = interpolate_nonmatching_mesh ( u2 , V)
    V_dofmap = V.dofmap()
    chi1 = Function(V)
    chi2 = Function(V)
    gamma_dofs = []
    for cell in cells(mesh): # set the characteristic functions
        if domains[cell] == 1:
            chi1.vector()[V_dofmap.cell_dofs(cell.index())] = 1
            gamma_dofs.extend(V_dofmap.cell_dofs(cell.index()))
        else:
            chi2.vector()[V_dofmap.cell_dofs(cell.index())]=1
    gamma_dofs = list(set(gamma_dofs))
    u2.vector()[gamma_dofs] = 0
    u_0 = project(chi1*u1, V)
    u_0 += project(chi2*u2, V)
    return u_0

def define_domains (mesh, V, cells_num) :
    domains = CellFunction("size_t", mesh, 0)
    domains.set_all(1)
    right_domain = AutoSubDomain (lambda x : x[0] >= 0.5 )
    right_domain.mark(domains, 2)
    return domains

def define_mesh_boundaries ( mesh ) :
    boundaries = MeshFunction ("size_t", mesh, 1)

    boundaries.set_all(0)
    class DirichletBCBoundary(SubDomain):
        def inside(self, x, on_boundary):
            return on_boundary
    d_boundary = DirichletBCBoundary()
    d_boundary.mark(boundaries, 1)
    return boundaries

def define_mesh2_boundaries ( mesh ) :
```

```

boundaries= MeshFunction("size_t", mesh, 1)
boundaries.set_all(0)
class DirichletBCBoundary(SubDomain):
    def inside(self, x, on_boundary):
        return on_boundary and x[0] - 1 < DOLFIN_EPS and x[0] - 0.5 > DOLFIN_EPS
d_boundary = DirichletBCBoundary()
d_boundary.mark(boundaries,1)
class Gamma(SubDomain) :
    def inside(self, x, on_boundary):
        return x[0] > 0.5 - DOLFIN_EPS and x[0] < 0.5 + DOLFIN_EPS
gamma = Gamma( )
gamma.mark(boundaries, 2)
return boundaries

import matplotlib.pyplot as plt
import matplotlib.tri as tri
from dolfin import *
import numpy as np

domain = Rectangle(-1, -1, 1, 1) - Circle(0, 0, 0.5)
mesh = Mesh(domain, 20)
n = mesh.num_vertices()
d = mesh.geometry().dim()

# Create the triangulation
mesh_coordinates = mesh.coordinates().reshape((n, d))
triangles = np.asarray([cell.entities(0) for cell in cells(mesh)])
triangulation = tri.Triangulation(mesh_coordinates[:, 0],
                                mesh_coordinates[:, 1],
                                triangles)

# Plot the mesh
plt.figure()
plt.triplot(triangulation)
plt.savefig('mesh.png')

# Create some function
V = FunctionSpace(mesh, 'CG', 1)
f_exp = Expression('sin(2*pi*(x[0]*x[0]+x[1]*x[1]))')
f = interpolate(f_exp, V)

# Get the z values as face colors for each triangle(midpoint)
plt.figure()
zfaces = np.asarray([f(cell.midpoint()) for cell in cells(mesh)])
plt.tripcolor(triangulation, facecolors=zfaces, edgecolors='k')
plt.savefig('f0.png')

# Get the z values for each vertex
plt.figure()

```



```
z = np.asarray([f(point) for point in mesh_coordinates])
plt.tripcolor(triangulation, z, edgecolors='k')
plt.savefig('f1.png')

# Comment to prevent pop-up
plt.show()
```